

Vývěvy s transportem molekul z čerpaného prostoru

Paroproudové vývěvy

Molekuly plynu získávají dodatečnou rychlosť ve smere čerpáni prostredníctvím proudu pracovnej látky (voda, pára, plyn).
Vetšinou je nutné tyto vývěvy predčerpávať.

Vodní vývěva

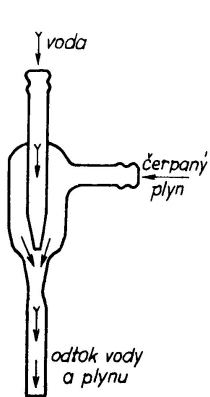
Rychlosť proudící kapaliny je dána Bernoulliovou rovnici:

$$\frac{1}{2} \varrho v^2 + h \varrho g + p' = \text{konst}$$

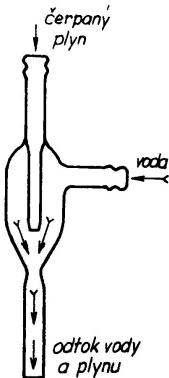
$$\frac{1}{2} \varrho v_1^2 + p'_1 = \frac{1}{2} \varrho v_2^2 + p'_2$$

p'_2 závisí na rozdielu rýchlosťí a môže byť menší než atmosférický tlak.
Proudící látka nasáva okolný prostredí.

a)

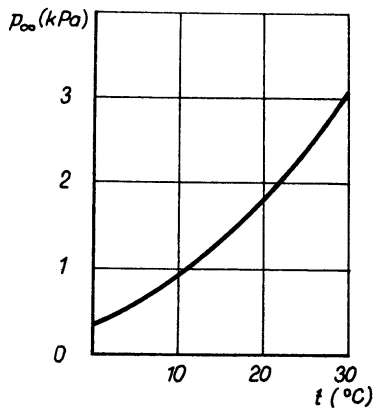


b)



Obr. 4.35. Vodní vývěva:

a) s vnitřním proudem, b) s vnějším proudem



Obr. 4.38. Závislost mezního tlaku p_∞ vodní vývěvy na teplotě vody

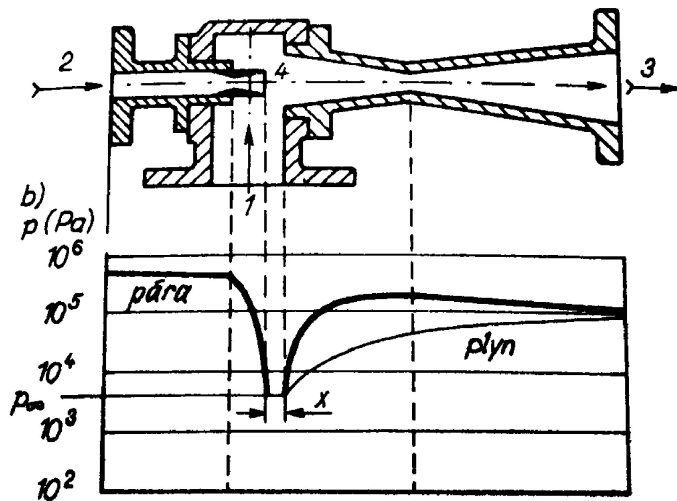
J. Groszkowski: Technika vysokého vakua, SNTL, Praha 1981

Vodní vývěva

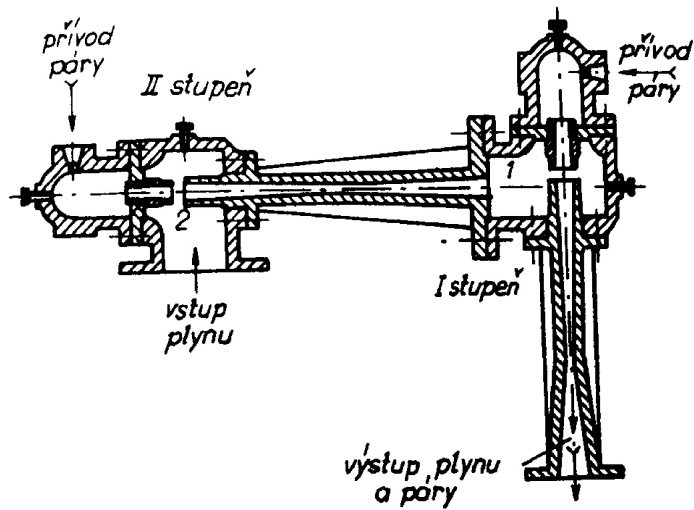
- pracuje od atmosférického tlaku
- mezní tlak $\sim 10^3$ Pa
- velká spotřeba vody
- může čerpat vodní páru
- malá čerpací rychlosť

Ejektorové vývěva

Jako pracovní tekutinu používají páru (H_2O , Hg, olej), nebo plyn. Pára se přivádí do speciální trysky (Lavalova tryska), kde získává nadzvukovou rychlosť. Při mezním tlaku roste zpětný proud páry. Několika stupňové provedení (1 – 6). Vlastnosti závisí na pracovním mediu.



J. Groszkowski: Technika vysokého vakua, SNTL, Praha 1981

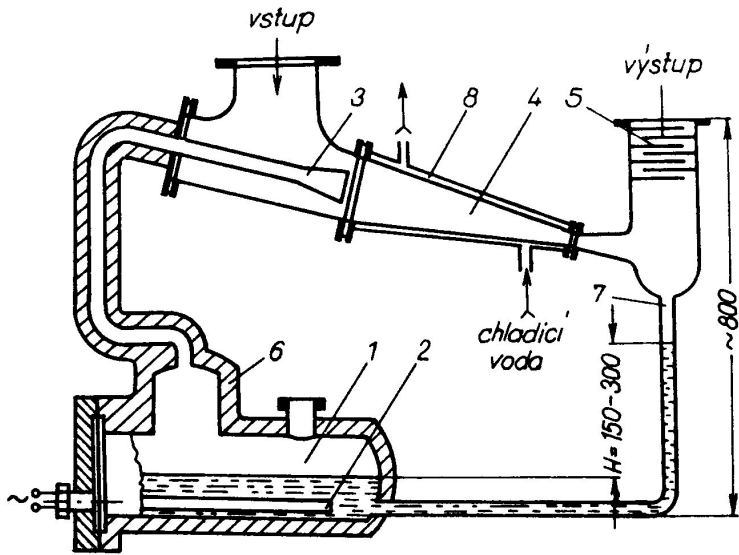


J. Groszkowski: Technika vysokého vakua, SNTL, Praha 1981

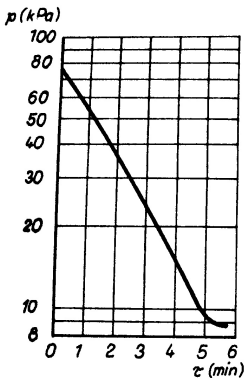


Figure 4.2 First stage of a steam jet vacuum pump for a steel degassing plant.

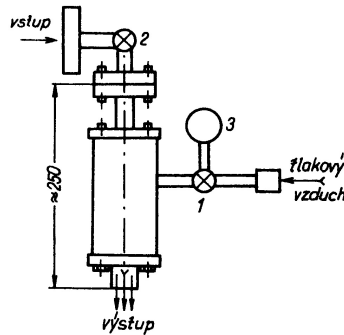
W.Jorish: Vacuum Technology in the Chemical Industry, Wiley, 2015



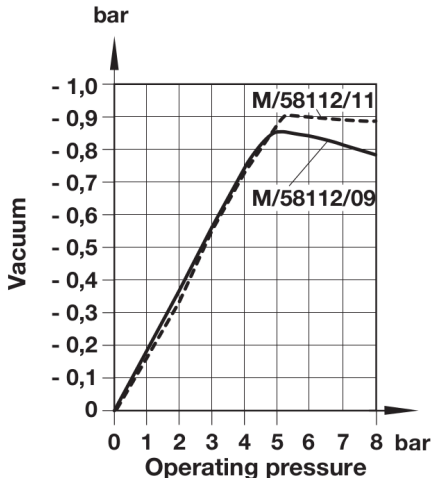
J. Groszkowski: Technika vysokého vakua, SNTL, Praha 1981



Obr. 4.39. Čerpací charakteristika vývěvy s proudem vzduchu. (Objem čerpaného systému 100 l, tlak čerpacího vzduchu 600 kPa, spotřeba vzduchu 5 až 8 kg h⁻¹, čerpací rychlosť 0,6 l s⁻¹)



Obr. 4.40. Vývěva s proudem vzduchu
(firma Varian)
1, 2 – ventily; 3 – manometr

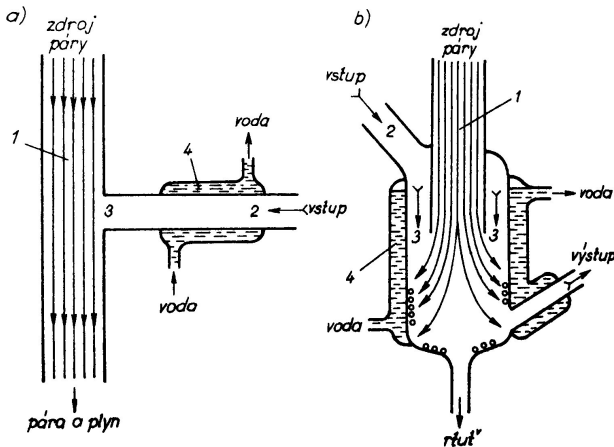


M/58112/11 - 62 x 30 x 30 mm, 157 g; objem 1 litr vyčerpá za 8 s
materiály firmy IMI Norgren

Ejektorová vývěva

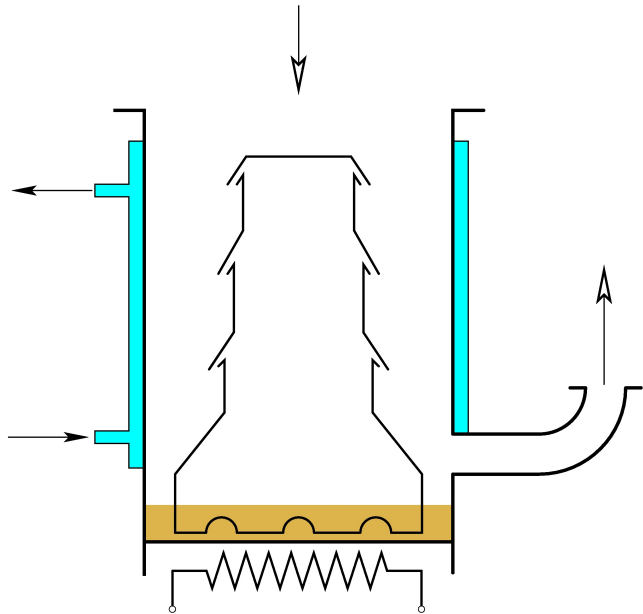
- mezní tlak, závisí na pracovním médiu a počtu stupňů
- velká rychlosť proudění media
- velká hustota proudu páry
- parametry závisí na použité pracovní kapalině

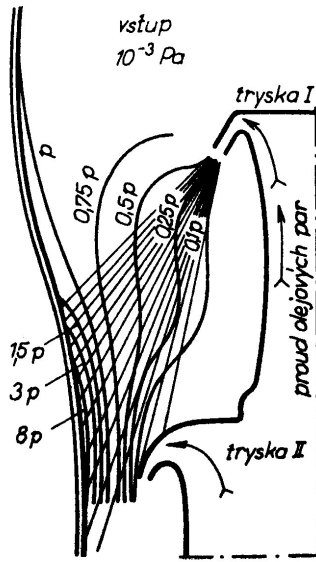
Difúzní vývěva



Obr. 4.47. Difúzní vývěvy: a) Gaedeho, b) Langmuirova

J. Groszkowski: Technika vysokého vakua, SNTL, Praha 1981





Mezní tlak je dán $P'_0 = P_0 + P_p$, závisí na rychlosti proudu páry, ale P_p je funkcí teploty. Pro tlak $p \gg p_0$ lze čerpací rychlosť vyjádriť ako:

$$S = G \frac{1}{1 + \frac{G}{A_0 v_p}} = \frac{1}{\frac{1}{G} + \frac{1}{A_0 v_p}}$$

čerpací rychlosť nemôže byť väčšia než vodivost vstupnej časti vývěvy. Pokud za vodivost dosadíme vodivost otvoru pak

$$G = \frac{1}{4} v_a A_0 \Rightarrow S = \frac{1}{4} v_a A_0 \frac{1}{1 + \frac{v_a}{4 v_p}}$$

pri $v_p \gg v_a$ by bola čerpací rychlosť rovna vodivosti G , ale víme, že $v_p \sim v_a \Rightarrow S < G$.

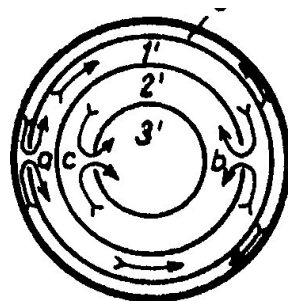
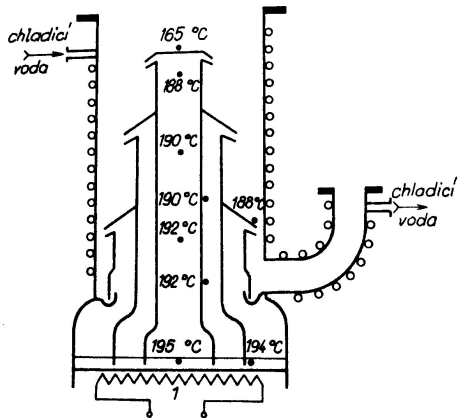
Pracovní kapaliny difúzních vývěv

v minulosti Hg, parafín,..

dnes se používají oleje, požadujeme nízkou tenzi par, stálost při provozu (odolnost vůči štěpení), odolnost proti oxidaci

- minerální oleje
 - směs uhlovodíků
 - dochází k částečnému rozkladu v důsledku vysoké teploty
 - zlepšení mezního tlaku použitím frakčních difúzních vývěv
- silikonové oleje
 - olejové sloučeniny křemíku, polysiloxanové řetězce
 - tenze par $\sim 10^{-8}$ Pa
 - chemické odolnost a stálost, dlouhá životnost

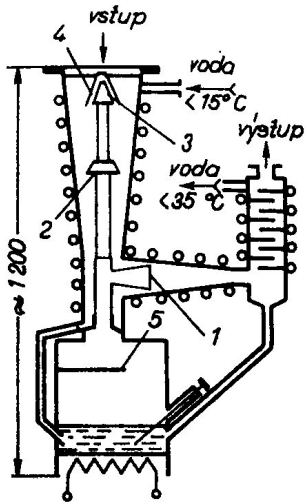
Frakční difúzní vývěvy



J. Groszkowski: Technika vysokého vakua, SNTL, Praha 1981

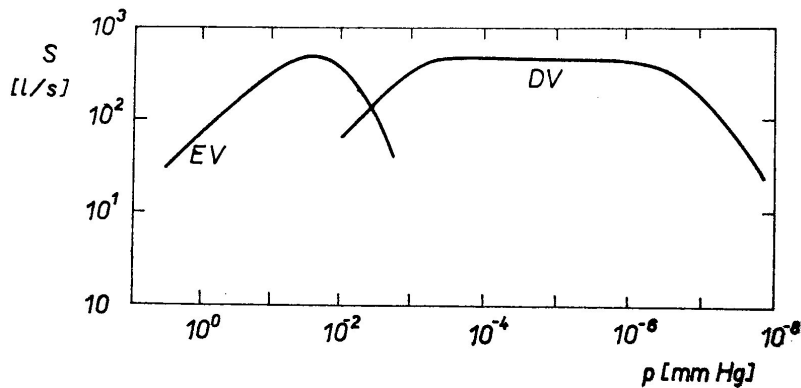
Difúzní vývěvy

- potřebuje předčerpat nejčastěji rotační vývěvou
- mezní tlak $\sim 10^{-7}$ Pa
- pracovní kapalina Hg, parafín, nejčastěji **olej**
- požadavky na pracovní kapalinu
 - nízká tenze par
 - stálost při provozu - odolnost proti štěpení
 - odolnost proti oxidaci
- jednoduchá konstrukce; jedno, nebo vícestupňové provedení



Kombinace difuzní a ejektorové vývěry

J. Groszkowski: Technika vysokého vakua, SNTL, Praha 1981



Kombinace difuzní a ejektorové vývěvy
 L. Pátý: Fyzika nízkých tlaků, Academia, Praha 1968

Zamezení vniku olejových par do čerpaného prostoru

Mechanizmus vniku par:

- přímé vstřikování páry
- difúze páry

K zamezení vniku olejových par do čerpaného prostoru se používají:

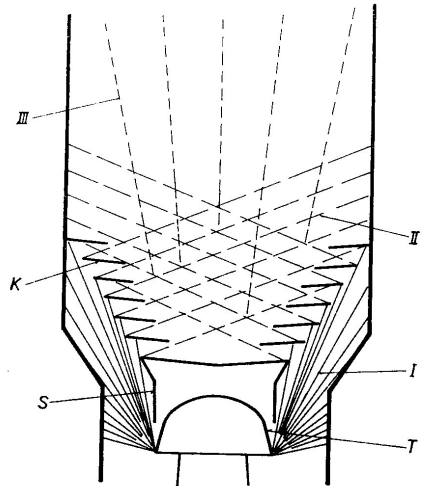
- srážeče par
- lapače par - zpravidla chlazené

Použití těchto zařízení snižuje čerpací rychlosť vývěvy.

V současné době je trend nahradit rotační olejové vývěvy suchými vývěvami (membránové, Scroll,...), které nepoužívají při čerpání olej, nebo jiné kapaliny a nahradit difúzní vývěvy turbomolekulárními vývěvami.

Srážeče par

- zamezují přímému vniku par
- umisťují se blízko vývěvy, aby zkondenzované páry odtékaly do vývěvy
- většinou chlazené vodou
- snížení čerpací rychlosti o 40 – 60 %

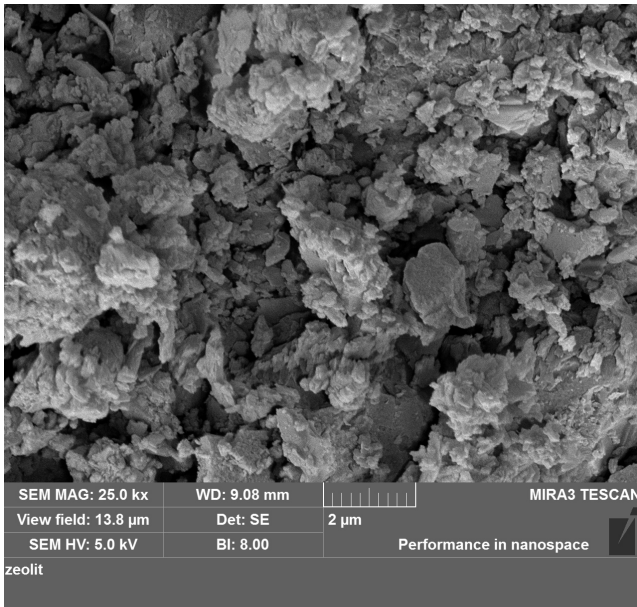


L. Pátý: Fyzika nízkých tlaků, Academia, Praha 1968

Lapače par

Zamezují vstupu difundujících molekul páry do čerpaného prostoru, umístění blízko čerpaného prostoru. Princip činnosti:

- povrch na nízké teplotě - vymrazovačky, nejčastější chlazení pomocí tekutého dusíku $\sim 77\text{ K}$
 - nastává čerpání vlivem nízké teploty
 - hladina chladící kapaliny nesmí kolísat
 - molekuly zůstávají na povrchu - difúze po povrchu
- povrch pokrytý absorpční látkou
 - měděná folie
 - molekulová síta - zeolity, obsahují dutina a kanálky o velikosti $\sim 1\text{ nm}$, 1 g této látky má povrch až 1000 m^2



SEM MAG: 25.0 kx

WD: 9.08 mm



MIRA3 TESCAN

View field: 13.8 μm

Det: SE

2 μm

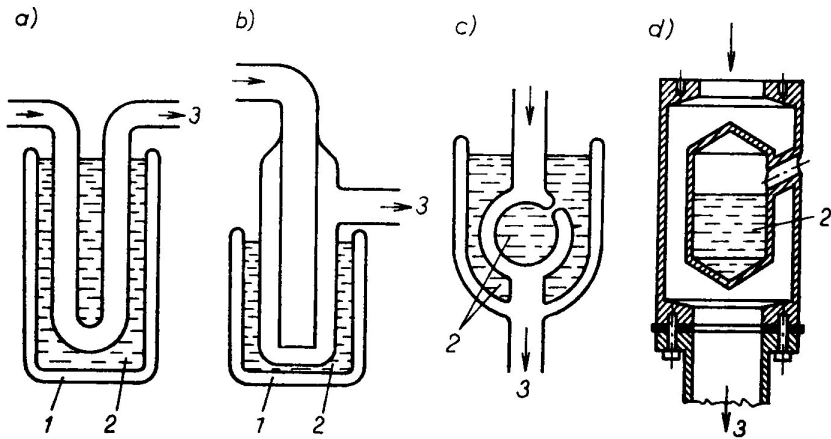
SEM HV: 5.0 kV

Bl: 8.00

Performance in nanospace

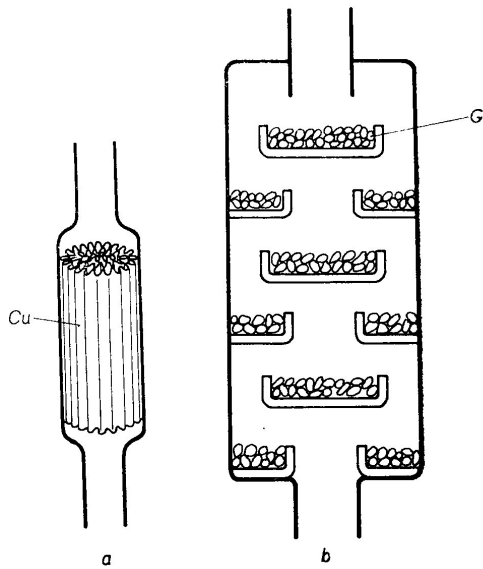
zeolit

Zeolit



Lapače par

J. Groszkowski: Technika vysokého vakua, SNTL, Praha 1981

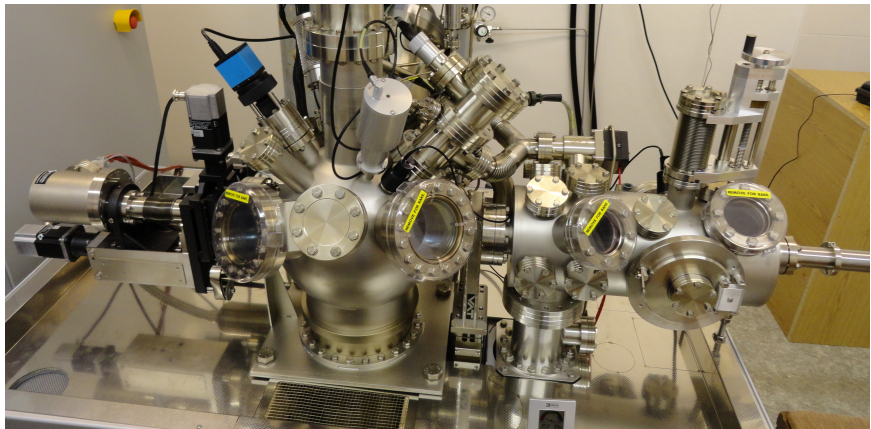


Lapače par

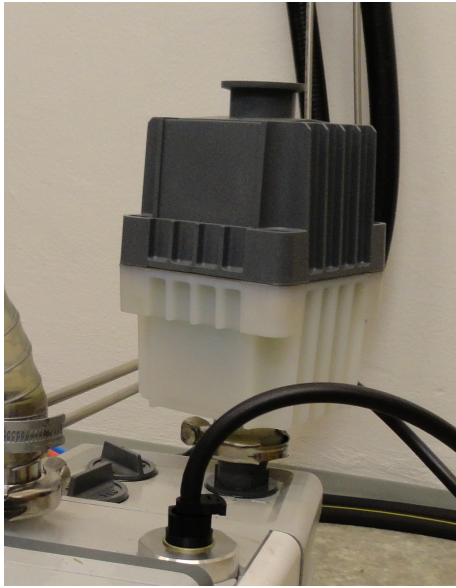
L. Pátý: Fyzika nízkých tlaků, Academia, Praha 1968

Čerpací systém XPS

praktická ukázka lapačů a srážečů par

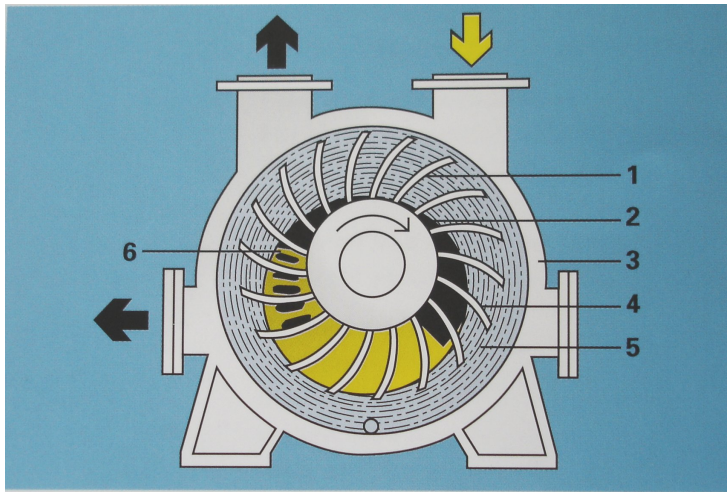




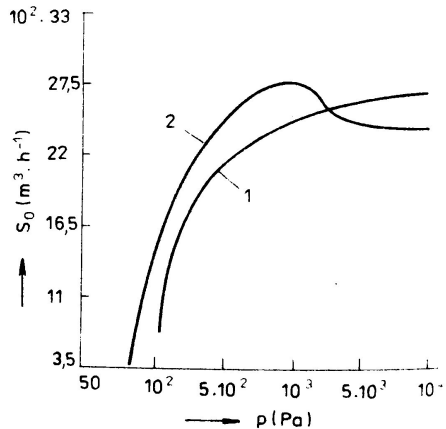
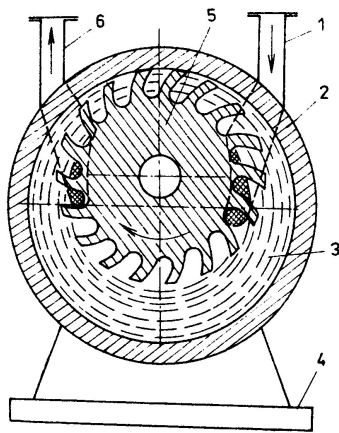




Vodokružní vývěva



materiály firmy Pfeiffer



J. Groszkowski: Technika vysokého vakua, SNTL, Praha 1981

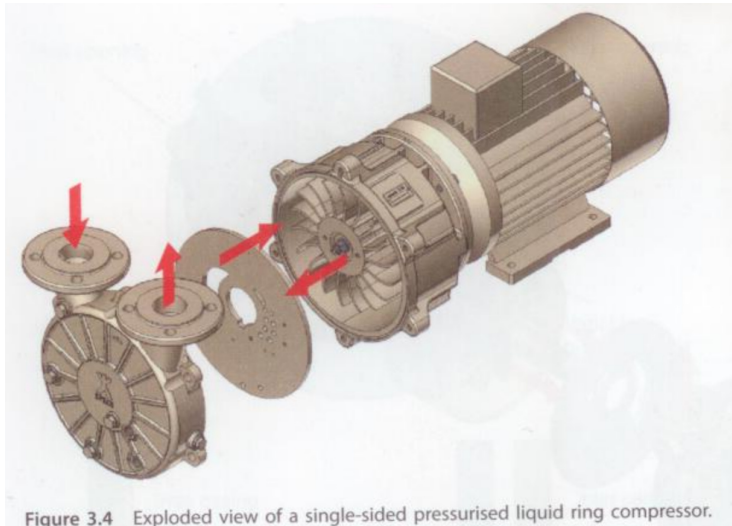


Figure 3.4 Exploded view of a single-sided pressurised liquid ring compressor.

W.Jorish: Vacuum Technology in the Chemical Industry, Wiley, 2015

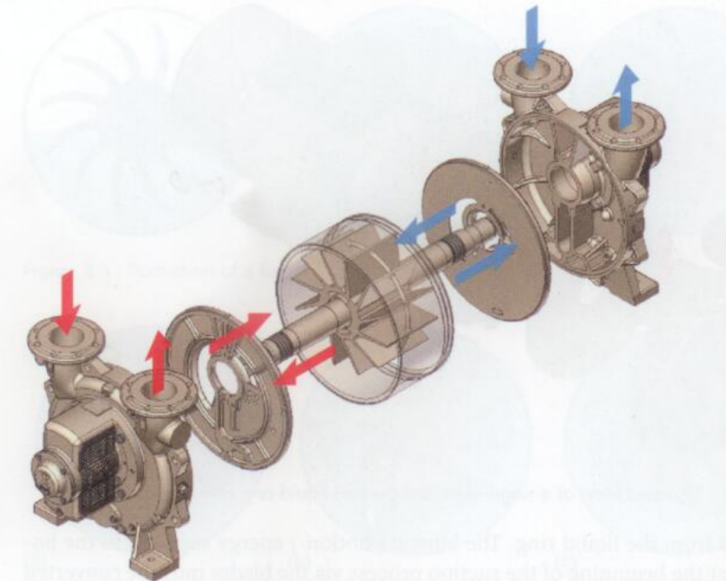


Figure 3.5 Exploded view of a double-sided pressurised liquid ring compressor.

Vodokružní vývěva

- pracuje od atmosférického tlaku
- mezní tlak $\sim 10^2$ Pa
- velká spotřeba vody, zpravidla uzavřený okruh
- může čerpat vodní páru
- velká čerpací rychlosť
- využití zejména v průmyslu
- chemicky odolná, nevadí jí drobné částice - metalurgie
- vícestupňové provedení

Suché rotační vývěvy

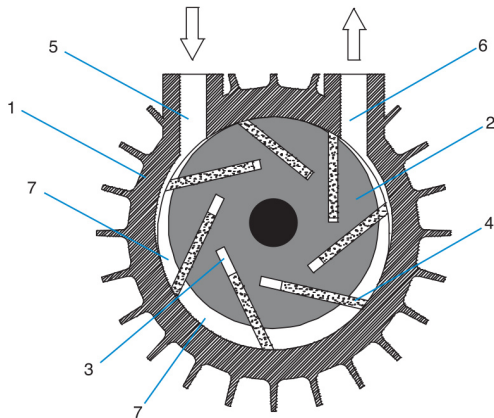
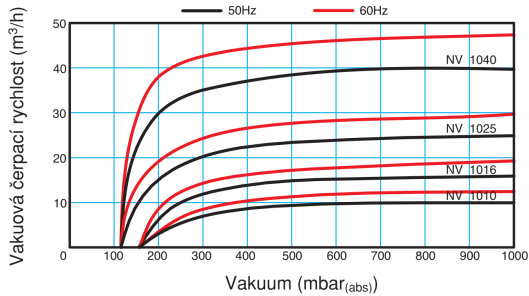


Schéma rotoru:

- 1) válec
- 2) rotor
- 3) štěrbina rotoru
- 4) uhlíková lamela
- 5) sání
- 6) výfuk
- 7) vzduchové komory

materiály firmy Vacuum Bohemia, Busch

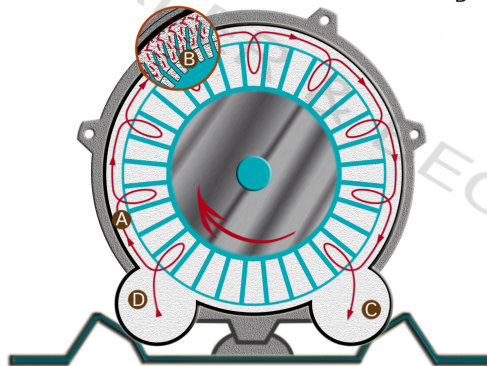


materiály firmy Vacuum Bohemia, Busch

Suché rotační vývěvy

- čerpací rychlosť $3 - 500 \text{ m}^3/\text{h}$
- mezní tlak $\sim 10^4 \text{ Pa}$
- využití
 - vakuová manipulácia a upínanie
 - dřevozpracující průmysl
 - papírenský průmysl
 - potravinářský průmysl

Side channel vývěvy (s bočním kanálem)



A - Seitenkanal / side channel

B - Laufrad / impeller

C - Auslass / outlet

D - Einlass / inlet

Side channel vývěvy (s bočním kanálem)

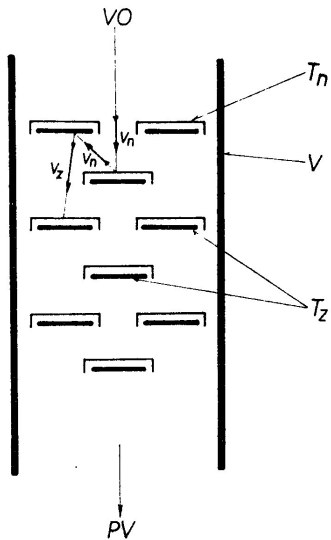
- suchá vývěva
- malá hlučnost
- libovolná orientace
- výbušné prostředí
- malé nároky na údržbu
- diferenciální tlak ~ 300 hPa
- čerpací rychlosť až $3000 \text{ m}^3/\text{h}$
- využití:
 - potravinářský průmysl
 - obalový průmysl
 - výroba plastů
 - papírenský průmysl
 - textilní průmysl

Vývěvy s transportem molekul z čerpaného prostoru

vývěvy, které mají zajímavý princip, ale dnes se v praxi nepoužívají

Vývěvy založené na tepelné rychlosti molekul

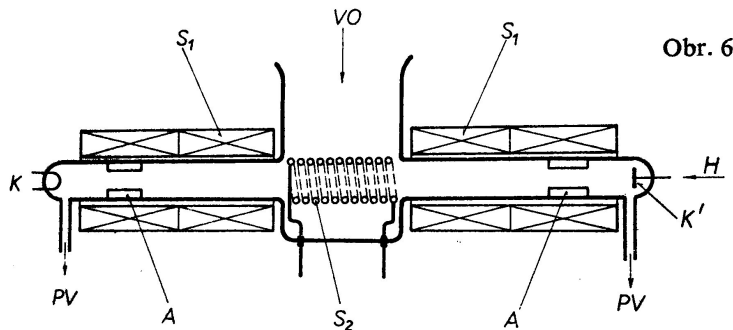
Plochy s nízkou teplotou T_1 a vysokou teplotou $T_2 = 600 \text{ } ^\circ\text{C}$, vyhřívané plochy směrem k výstupu, chlazené plochy směrem ke vstupu. Nemá pohyblivé části, nemá pracovní kapalinu.



J. Groszkowski: Technika vysokého vakua, SNTL, Praha 1981

Vývěvy založené na ionizaci molekul plynu

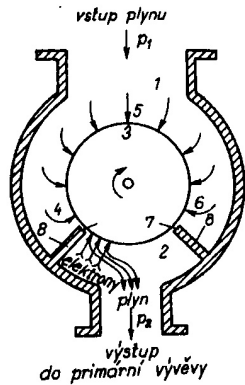
ionizace a urychlení elektrickým polem, neutralizace iontu blízko katod



L. Pátý: Fyzika nízkých tlaků, Academia, Praha 1968

- doutnavý výboj
- magnetické pole prodlužuje dráhu elektronu, větší pravděpodobnost ionizace
- potřebuje předčerpat na tlak $\sim 10^{-1}$ Pa
- mezní tlak $\sim 10^{-4}$ Pa
- značný příkon - neekonomické
- žádná pracovní kapalina
- žádné vibrace

Adsorpčně transportní vývěva



Obr. 4.83. Adsorpčně transportní vývěva

1, 2 – komory; 3 – válec; 4, 5, 6 – body povrchu válců;
7, 8 – přepážky

J. Groszkowski: Technika vysokého vakua, SNTL, Praha 1981